

Московский государственный технический университет
им. Н. Э. Баумана

В. Г. Крапивцев, С. В. Селиховкин

ПРОЧНОСТНЫЕ РАСЧЕТЫ
ЭЛЕМЕНТОВ ОБОРУДОВАНИЯ
ЯДЕРНЫХ ЭНЕРГОУСТАНОВОК

Издательство МГТУ им. Н. Э. Баумана
1996

Московский государственный технический университет
им. Н.Э.Баумана

В.Г.Крапивцев, С.В.Селиховкин

ПРОЧНОСТНЫЕ РАСЧЕТЫ ЭЛЕМЕНТОВ ОБОРУДОВАНИЯ
ЯДЕРНЫХ ЭНЕРГОУСТАНОВОК

Рекомендовано редсоветом МГТУ
в качестве учебного пособия

Издательство МГТУ им. Н.Э.Баумана

1995

ББК 31.4

К78

Рецензенты: И.В.Переездчиков, Ю.С.Песодкий

К78 Крапивцев В.Г., Селиховкин С.В. Прочностные расчеты элементов оборудования ядерных энергоустановок: Учебное пособие. - М.: Изд-во МГТУ им. Н.Э.Баумана, 1995. - 40 с., ил.

Изложены основные положения расчета на прочность элементов оборудования ядерных энергоустановок, методики расчета на прочность трубных досок, расчета жесткости, расчета термических напряжений, расчета на вибрацию. В приложении приведены прочностные свойства различных материалов и их теплофизические характеристики.

Для студентов старших курсов.

Табл. 4. Ил. 15. Библиогр. 8 назв.

ББК 31.4



МГТУ им. Н.Э.Баумана, 1995.

I. ОСНОВНЫЕ ПОЛОЖЕНИЯ РАСЧЕТА НА ПРОЧНОСТЬ

Расчет на прочность проводится в целях определения основных размеров конструкции и ее геометрических очертаний, допустимого числа циклов нагружения и ресурса эксплуатации корпусов реакторов, корпусов кожухов и других элементов конструкции парогенераторов и теплообменников, корпусов насосов и арматуры, а также трубопроводов и других элементов систем атомных энергетических установок.

Элементы оборудования атомных энергетических установок рассчитывают в соответствии с нормами расчета на прочность элементов реакторов, парогенераторов, сосудов и трубопроводов АЭС, опытных и исследовательских ядерных реакторов и установок. Эти нормы распространяются также на элементы реакторов, парогенераторов, сосудов и трубопроводов первого и других контуров [1, 2].

При выборе конструкций и методов расчета элементов ядерных энергетических установок (ЯЭУ) определяющими характеристиками являются: рабочее давление $p_{раб}$, расчетное давление $p_{расч}$, пробное давление $p_{пр}$, давление опрессовки (при необходимости) $p_{опр}$, расчетная температура t , условия нагружения.

Рабочее давление $p_{раб}$ – наибольшее внутреннее избыточное давление при нормальном течении рабочего процесса.

Расчетное давление $p_{расч}$ в рабочих условиях – это давление, при котором рассчитывают на прочность конструкцию и ее элементы. Расчетное давление принимают, как правило, равным рабочему давлению. При повышении давления в системе во время срабатывания предохранительных устройств более чем на 10 %, по сравнению с рабочим давлением, элементы конструкции следует рассчитывать на давление, составляющее 90 % давления при полном открытии клапана или предохранительного устройства.

Для элементов, разделяющих объемы с разными давлениями, за $p_{расч}$ следует принимать давление в каждом из этих объемов либо давление, которое требует большей толщины стенки. Допускается также расчет по разности давлений.

Корпуса, сосуды и элементы конструкций систем ЯЭУ, работающие при высоких давлениях (от 10 до 100 МПа), подвергаются поверочному расчету на пробное давление $p_{пр}$, т.е. давлению

при гидравлических испытаниях. Значения пробного давления регламентированы Правилами устройства и беозопасной эксплуатации оборудования и трубопроводов атомных энергетических установок [3].

Для устранения зазоров между слоями в многослойных корпушах и сосудах, а также с целью уменьшения остаточных напряжений в сварных швах производится опрессовка при повышенном давлении $P_{оп}$. Значения $P_{оп}$ определены в нормативно-технической документации на изготовление многослойных сосудов (ОСТ 2601-221-86).

Расчетную температуру t , необходимую для выявления физико-механических свойств материала и допускаемых напряжений, определяют на основании тепловых расчетов либо принимают разной температуре рабочей среды.

В условиях отсутствия ползучести материала нормативные методы расчета на прочность основаны на принципах оценки по предельным состояниям. При этом критериями для оценки прочности элемента являются: разрушение (вязкое и хрупкое), пластическая деформация по всему сечению элемента, потеря устойчивости; возникновение остаточных изменений формы и размеров, приводящих к невозможности эксплуатации конструкции, макротрешины при циклическом нагружении.

Толщины элементов рассчитывают по предельным нагрузкам, соответствующим вязкому разрушению или пластической деформации по сечению элемента. Расчетное давление $p_{расч}$ принимают в n_t и n_b раз меньше значений p_t и p_b (p_t и p_b - давление перехода в пластическое состояние и давление разрушения; n_t и n_b - коэффициенты запаса по пределу текучести и прочности).

При расчете на прочность корпусов и сосудов принимают $n_t = 1,5$, а $n_b = 2,4$. При расчете шпилек принимают только $n_t = 1,5$.

При расчете элементов сосудов и корпусов по предельным нагрузкам для углеродистых, низко- и среднелегированных сталей допускаемое напряжение вычисляют из условия

$$[\sigma] = \min \left(\frac{\sigma_t \text{ или } \sigma_{0,2}}{n_t} ; \frac{\sigma_b}{n_b} \right).$$

При наличии зон пластических деформаций и значительных по размерам областей повышенных напряжений необходимо проводить расчет напряженно-деформированного состояния элемента. При этом для оценки прочности используют критерии прочности, позволяющие перенести результаты испытаний образцов при одноосном напряженном состоянии на случай сложного напряженного состояния. Соответствие между этими состояниями устанавливается посредством введения эквивалентных напряжений $\sigma_{экв}$ (критерий прочности при статическом нагружении):

$$\sigma_{экв} = \sigma_i < \sigma_a,$$

где σ_i - интенсивность напряжений;

$$\sigma_i = \frac{1}{\sqrt{2}} [(\sigma_x - \sigma_y)^2 + (\sigma_y - \sigma_z)^2 + (\sigma_z - \sigma_x)^2 + 6(\tau_{xy}^2 + \tau_{yz}^2 + \tau_{zx}^2)]^{0,5},$$

здесь $\sigma_x, \sigma_y, \sigma_z$ - нормальные напряжения; $\tau_{xy}, \tau_{yz}, \tau_{zx}$ - касательные напряжения.

Критерий максимальных касательных напряжений

$$\sigma_{экв} = \sigma_1 - \sigma_3 < \sigma_a,$$

где σ_1 и σ_3 - соответственно наибольшее и наименьшее напряжения.

В нормах расчетов на прочность предусматриваются два вида расчетов: предварительное выполнение проектных расчетов по предельным нагрузкам толщин стенок и основных размеров элементов и подробный поверочный расчет. При предварительном определении размеров сложная конструкция разделяется на простые элементы (цилиндрические и конические оболочки, сферические, эллиптические и плоские днища и крышки, патрубки и штуцера) и находится наибольшая толщина стенки в зависимости только от основной внешней нагрузки, например от давления. В зонах сопряжения стыкуемых элементов для уменьшения краевых напряжений учитывают конструктивные рекомендации, полученные на основе анализа со-

стояния материала в этих зонах.

При выполнении поверочного расчета учитывают все виды нагрузок (давление, термические напряжения и т.д.), проводят расчет на циклическую прочность, допустимое число циклов λ и амплитуду напряжений σ_a .

По особенностям конструкции и расчета на прочность элементов оборудование ЯЭУ можно разделить на следующие основные группы: корпуса и трубные доски; трубопроводы; разъемные соединения; валы; диски; лопатки.

При конструировании элементов оборудования выполняются следующие основные виды расчетов:

1. Прочностной расчет (определение максимальных напряжений и сравнение их с допускаемыми).

2. Расчет жесткости (определение максимальных деформаций и сравнение их с допускаемыми).

3. Расчет на устойчивость.

4. Расчет термических напряжений и деформаций.

5. Расчет на вибрацию (в основном для трубных пучков).

Выбор допускаемых напряжений и механических свойств материалов проводится в соответствии с [1, 2].

В настоящем учебном пособии даны перечисленные виды расчетов некоторых конструктивных элементов энергетического оборудования.

II. РАСЧЕТ НА ПРОЧНОСТЬ

Расчет осуществляется по методике, изложенной в [4].

Приведенная толщина трубной доски

$$S_{np} = S \sqrt[3]{\varphi},$$

где S - толщина трубной доски; φ - коэффициент прочности трубной доски, учитывающий ослабление ее отверстиями,

$\varphi = 0,9(1 - 0,905 d^2 / t^2)$ при разбивке по треугольнику;

$\varphi = 0,9(1 - 0,785 d^2 / t^2)$ при разбивке по квадрату (рис. Ia).

Рассмотрим конкретные случаи.

I. Трубная доска с U -образным пучком труб (рис. Iб).

Максимальное напряжение в центре трубной доски

$$\sigma_{\max} = 0,31 p \cdot \left(\frac{D}{S_{np}} \right)$$

Минимальная фактическая толщина доски

$$S = \frac{0,557}{\sqrt[3]{\varphi}} \cdot D \cdot \sqrt{\frac{p}{\sigma_{\text{доп}}}}$$

где D - наружный диаметр трубной доски; при фланцевом соединении диаметр принимается по окружности болтовых отверстий.

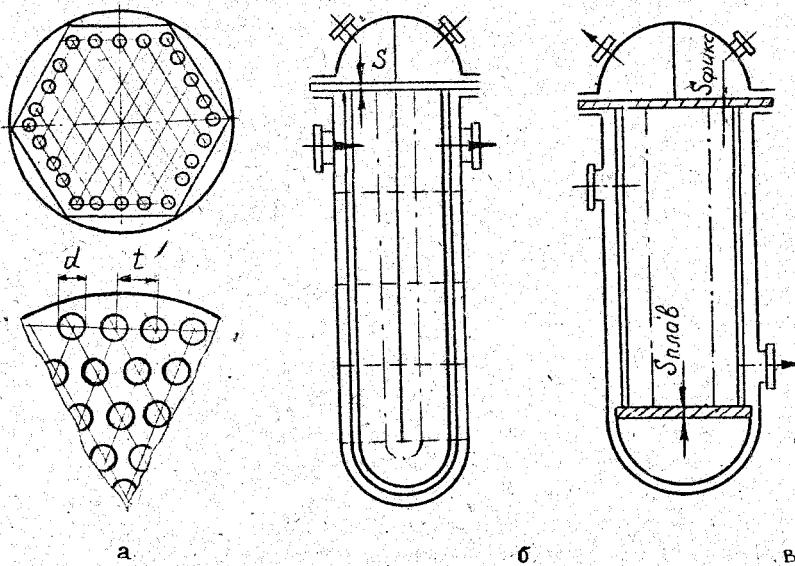


Рис. I

2. Две трубные доски, одна из которых плавающая, другая - фиксированная (рис. Iв). Максимальное напряжение в плавающей трубной доске

$$\sigma_{\max} = \frac{6 \cdot M_{\max}}{S^2 \cdot \varphi^{2/3}}$$

где M_{\max} - максимальная интенсивность изгибающего момента, $(\text{Н}\cdot\text{м})/\text{м}$, определяемая по табл. I в зависимости от параметра податливости системы

$$\varepsilon = 1,28 \cdot \frac{D}{S_{np}} \sqrt{\frac{d_{cp}}{l_T} \cdot \frac{S_T}{D} \cdot \frac{S_{np}}{D} \cdot \frac{\pi}{\varphi} \cdot \frac{E_T}{E_p} (1 + \psi)},$$

здесь

$$\psi = \left(\frac{S_{плав}}{S_{фик}} \right)^3.$$

Таблица I

ε	Трубная доска		Трубная доска	
	фиксированная	плавающая	фиксированная	плавающая
	$4M_{max}/(p \cdot D^2)$	$4M_{max}^*/(p \cdot D^2)$		
0,5	0,128	0,207	5	0,0386
I	0,127	0,206	6	0,028
2	0,112	0,178	7	0,0208
3	0,0853	0,112	8	0,0156
4	0,057	0,0726	9	0,0153
			10	0,0146

Минимальная фактическая толщина доски

$$S = \sqrt{\frac{6 M_{max}}{\sigma_{доп} \cdot \varphi^{2/3}}}.$$

Расчет ведется последовательными приближениями.

3. Две фиксированные трубные доски равной толщины (рис. 2).
Максимальное напряжение в центре доски

$$\sigma_{max} = \frac{6 M_{max}}{S^2 \cdot \varphi^{2/3}}.$$

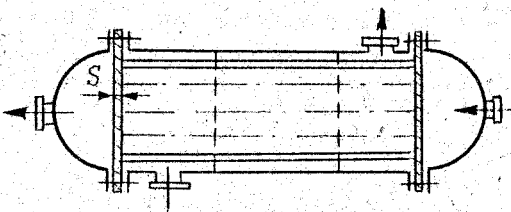


Рис. 2

Максимальная интенсивность изгибающего момента

$$M_{\max} = \frac{P \cdot D^2}{4} \left[1 - \frac{d^2 n}{D^2} - 4 \frac{d_{cp} \cdot S_T \cdot n \cdot E_T}{P \cdot D^2} \times \right. \\ \left. \times (\alpha_T \cdot t_T - \alpha_K \cdot t_K) + \frac{\epsilon^4 \cdot \beta}{2} \right] \cdot f(\epsilon),$$

где

$$\beta = 0,37 \cdot \varphi \cdot \frac{l_T}{D} \cdot \frac{S_{np}}{S_K} \cdot \frac{S_{np}^2}{D^2};$$

$$\epsilon = 1,52 \cdot \frac{D}{S_{np}} \cdot \sqrt{\frac{d_{cp}}{l_T} \cdot \frac{S_T}{D} \cdot \frac{S_{np}}{D} \cdot \frac{n}{\varphi} \cdot \frac{E_T}{E_p}},$$

$f(\epsilon)$ определяется по табл. 2. Индексы "T", "K", "p" относятся соответственно к трубам, корпусу и трубной доске.

Таблица 2

ϵ	$f(\epsilon)$		ϵ	$f(\epsilon)$	
	$\beta = 0$	$\beta = 0,015$		$\beta = 0$	$\beta = 0,015$
0	0,205	0,204	4	0,02	0,012
1	0,2	0,19	5	0,015	0,005
2	0,14	0,12	6	0,01	0,001
3	0,04	0,03	7	0,007	0

Минимальная фактическая толщина доски

$$S = \sqrt{\frac{6 M_{\max}}{\sigma_{\text{доп}} \cdot \varphi^{2/3}}}.$$

III. РАСЧЕТ ЖЕСТКОСТИ

В различных случаях элементы конструкций должны обладать либо большой жесткостью (например, фланцевое соединение), либо напротив, большой податливостью (например, компенсаторы). В настоящем параграфе мы остановимся на расчете компенсационных устройств, нередко применяемых в элементах энергостановок для компенсации температурных удлинений [1, 4].

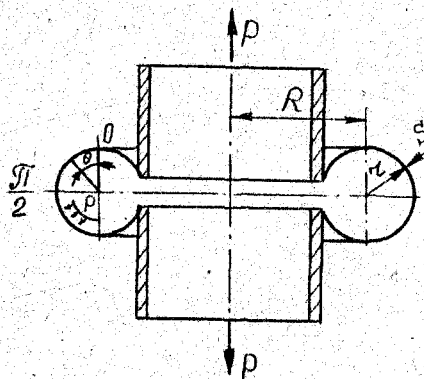


Рис. 3

I. Торовый компенсатор (рис. 3). Расчетные параметры:

$$\alpha_0 = \frac{r}{R};$$

$$\beta_0 = \frac{r}{S};$$

$$\lambda = \sqrt{12(1-\mu)} \cdot \alpha_0 \beta_0; \quad \lambda = 3,3 \cdot \alpha_0 \beta_0 \quad \text{при} \quad \mu = 0,3,$$

где μ - коэффициент Пуассона;

$$D_0 = (1.74 + 0.126 \cdot \lambda^2) \cdot 10^{11};$$

$$N_0 = (4.36 + 0.027 \cdot \lambda^2) \cdot 10^{10} \cdot \lambda^2;$$

$$N_1 = (1.74 + 0.017 \cdot \lambda^2) \cdot 10^{11};$$

$$N_3 = (3.64 + 0.0038 \cdot \lambda^2) \cdot 10^9 \cdot \lambda^2;$$

$$k_0 = N_0 / D_0;$$

$$c_1 = N_1 / D_0;$$

$$c_3 = N_3 / D_0,$$

$$\sigma_0 = \frac{3\alpha_0}{\pi S^2} \cdot P;$$

где P - осевая сила;

$$\sigma_P = \frac{P \cdot r}{S},$$

где P - внутреннее давление.

Действие осевой силы P . Осевое смещение компенсатора

$$\Delta = \frac{\lambda}{\alpha_0 \cdot S \cdot E} \cdot P \quad \text{при } \lambda \geq 4.$$

$$\Delta = \frac{\lambda^2 \cdot c_1}{2 \alpha_0 \cdot S \cdot E} \cdot P \quad \text{при } \lambda < 4.$$

Максимальные кольцевые напряжения (в точках $\theta = 0$)

$$\sigma_{\theta}^{\max} = \frac{0.518}{\lambda^{1/3}} \cdot \sigma_0 \quad \text{при } \lambda \geq 4;$$

$$\sigma_{\theta}^{\max} = 0.55 \cdot \frac{k_0}{\lambda} \cdot \sigma_0 \quad \text{при } \lambda < 4.$$

Максимальные изгибающие напряжения

$$\sigma_m^{\max} = \frac{0.754}{\lambda^{1/3}} \sigma_0 \quad \text{при } \lambda \geq 4$$

(в точках $\theta = \pm \frac{122}{\lambda^{1/3}}$);

$$\sigma_m^{\max} = (c_1 - c_3) \sigma_0 \quad \text{при } \lambda \leq 2.3$$

(в точках $\theta = \pm \frac{\pi}{2}$);

$$\sigma_m^{\max} = c_3 \left(1 + \frac{c_1}{3c_3}\right) \sigma_0 \quad \text{при } 2.3 < \lambda < 4$$

(в точках $\theta = \pm \arcsin \frac{1}{2} \sqrt{\frac{c_1}{3 \cdot c_3}} + 1$).

Действие давления p . Максимальные меридиональные напряжения

$$\sigma_{\varphi}^{\max} = \frac{1}{2} \cdot \frac{(2 + \alpha_0)}{(1 + \alpha_0)} \sigma_p$$

Максимальные кольцевые напряжения

$$\sigma_{\theta_p} = \frac{1}{2} \sigma_p$$

Условия прочности. Одновременно должны выполняться неравенства

$$\sigma_m^{\max} + \sigma_{\varphi}^{\max} \leq 1.5 \sigma_{\text{доп.}}$$

$$\sigma_{\theta_p}^{\max} + \sigma_{\theta_p}^{\max} \leq 1.5 \cdot \sigma_{\text{доп.}}$$

где $\sigma_{\text{доп.}}$ — номинальное допустимое напряжение.

2. Линзовый компенсатор. Может быть выполнен в виде одной волны, как показано на рис. 4, или нескольких таких волн.

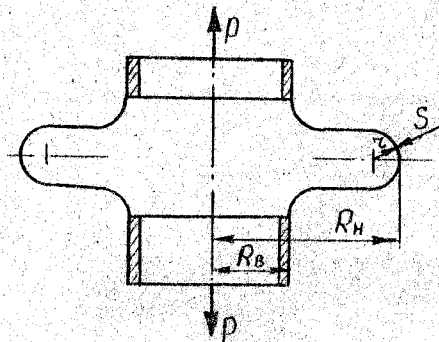


Рис. 4

Расчетный параметр

$$z = \frac{R_H}{R_B}$$

Формулы справедливы при длине пластины

$$l > 0,5 \cdot r,$$

$$\text{где } l = R_H - R_B - 2r.$$

Действие осевой силы P . Осевое смещение одной волны компенсатора

$$\Delta = 0,58 \cdot \frac{(z-1)^3}{z^2(z+1)} \cdot \frac{P - R_H^2}{E \cdot S^3}$$

Максимальное напряжение от осевого смещения, приходящегося на одну волну,

$$\sigma_{\max} = \frac{3}{8} \cdot \frac{E \cdot S \cdot \Delta}{R_H \sqrt{R_H \cdot r} \cdot \left(1 - \frac{1}{z}\right)^{3/2}}$$

Действие давления p . Максимальное напряжение в компенсаторе

$$\sigma_p^{\max} = 0,58 \left(1 - \frac{1}{z} - \frac{r}{R_H}\right) \cdot \frac{p R_H^2}{S^2}$$

Условие прочности:

$$\sigma_{\max} + \sigma_P^{\max} \leq 1.5 \cdot \sigma_{\text{доп.}}$$

где $\sigma_{\text{доп.}}$ - номинальное допускаемое напряжение.

3. Трубчатый компенсатор (рис. 5). Расчетные параметры:

Δ - осевое смещение компенсатора;

$$W = \frac{\pi}{32} \cdot d^3 \left[1 - \left(\frac{d_{\text{вн}}}{d} \right)^4 \right] \quad \text{- момент сопротивления трубы;}$$

$$W_P = 2 \cdot W \quad \text{- полярный момент инерции;}$$

$$\eta = d/R,$$

$$k_p = \frac{10 + 12\lambda^2 + 24\omega}{1 + 12\lambda^2 + 24\omega},$$

$$\lambda = \frac{S \cdot R}{r^2},$$

где S - толщина стенки трубы;

$$\omega = \frac{2p \cdot (1-\mu^2) \cdot R^2}{E \cdot S \cdot r},$$

где p - внутреннее давление; μ - коэффициент Пуассона;
 E - модуль упругости;

$$\rho = \frac{R}{\cos^2 \gamma},$$

$$\Phi = 2k_p(1+\eta^2) + (1-k_p+\mu)(2+\eta^2)\cos^2 \gamma;$$

$$\gamma = \arctg \frac{H}{2\pi R} \quad \text{- угол подъема витка компенсатора;}$$

$$\zeta = \frac{2\pi R \cdot i}{\cos \gamma} \quad \text{- длина компенсатора с числом витков } i.$$

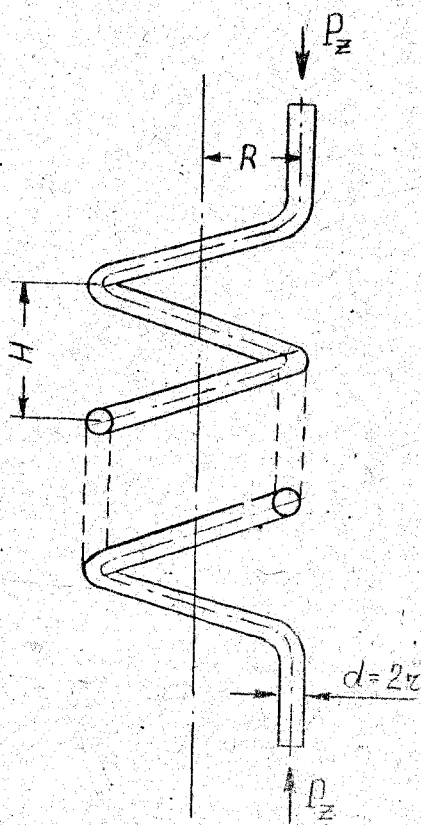


Рис. 5

Осевая сила

$$P_z = \frac{2\Delta E J}{R^2 l \cdot \Phi}$$

Изгибающий момент

$$M_{u3} = P_z R (1 + \eta) \sin \gamma$$

Крутящий момент

$$M_{kp} = \frac{P}{z} \cdot R (1 + \eta) \cos \gamma.$$

Максимальное осевое напряжение

$$\sigma_x^{\max} = \frac{M_{iz}}{W} k_p \left(1 + \frac{9\mu\lambda - 6}{5 + 6\lambda^2 + 12\omega} \right) + \frac{P \cdot r}{2S}$$

Максимальное кольцевое напряжение

$$\sigma_\theta^{\max} = \frac{M_{iz}}{W} k_p \left(\mu + \frac{9\lambda - 6\mu}{5 + 6\lambda^2 + 12\omega} \right) + \frac{P \cdot r}{2S} \cdot \frac{2\rho - r}{\rho - r}.$$

Максимальное касательное напряжение

$$\tau^{\max} = \frac{M_{kp}}{W_P} [1 + (0,616 + 0,636 \cos^2 \gamma) \cdot \frac{\eta}{2} + (0,712 + 0,164 \cos^2 \gamma) \cdot \frac{1}{2} \eta \cos^2 \gamma].$$

IV. РАСЧЕТ НА УСТОЙЧИВОСТЬ

Если конструктивные элементы подвержены действию сжимающих нагрузок, то их проверяют на устойчивость [5...7]. Для этого вычисляют теоретическое критическое давление P_{kp}^t , при котором элемент теряет устойчивость. Действительное критическое давление

$$P_{kp}^d = \eta_1 \cdot \eta_2 P_{kp}^t,$$

где $\eta_1 = 0,65 \dots 1$ – поправочный коэффициент, характеризующий несовершенство геометрической формы детали (зависит от точности изготовления); η_2 – поправочный коэффициент, характеризующий отклонение свойств материала детали от закона Гука в момент потери устойчивости; он определяется по графику рис. 6 в зависимости от предела текучести материала σ_t и критического напряжения

$$\sigma_{kp}^t = \eta_1 \cdot \frac{r}{S} \cdot P_{kp}^t;$$

здесь $r = \frac{1}{2} D$ – средний радиус оболочки; S – толщина оболочки.

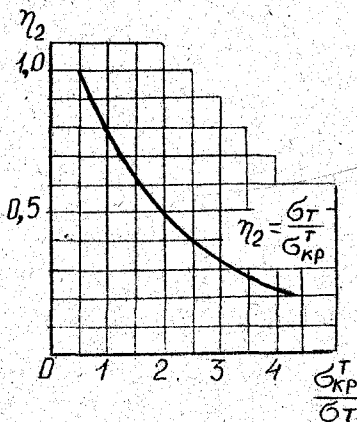


Рис. 6

Коэффициент запаса устойчивости

$$N = \frac{P_{kp}^{\mu}}{P_{раб}},$$

где $P_{раб}$ – рабочее давление.

Обычно принимают $N \geq 3$.

Рассмотрим некоторые случаи.

I. Устойчивость цилиндрических оболочек:

а) Оболочка под наружным давлением (рис. 7). Критическая длина

$$L_{kp} = 4.64 \cdot r \sqrt{(1 - \mu^2) \cdot \frac{r}{S}},$$

где μ – коэффициент Пуассона.

Для длинной оболочки ($L \geq L_{kp}$)

$$P_{kp}^{\tau} = \frac{E}{4(1 - \mu^2)} \cdot \left(\frac{S}{r}\right)^3$$

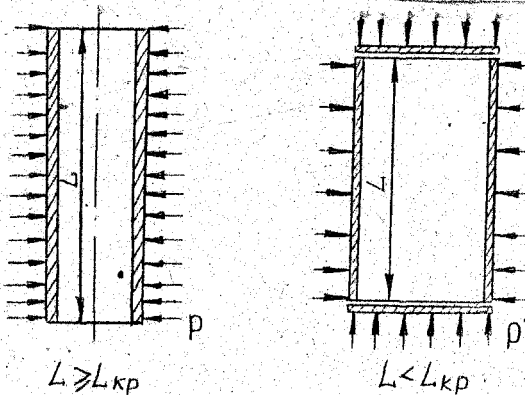


Рис. 7

Для короткой оболочки ($L < L_{kp}$)

$$P_{kp}^T = \frac{E \cdot S}{r \left(n^2 + \frac{1}{2} \frac{\pi^2 r^2}{L^2} \right)} \left[\frac{1}{\left(\frac{n^2 L^2}{\pi^2 r^2} + 1 \right)^2} + \right.$$

$$\left. + \frac{S^2}{12(1-\mu^2) r^2} \left(n^2 + \frac{\pi^2 r^2}{L^2} \right)^2 \right].$$

Целое положительное число n определяют по формуле

$$n \approx 2,773 \sqrt[4]{\frac{\sqrt{1-\mu^2}}{\left(\frac{L}{r}\right)^2 \left(\frac{S}{r}\right)}}.$$

причем так, чтобы P_{kp}^T принимало наименьшее значение.

б) Оболочка под осевой нагрузкой (рис. 8). Критическая осевая сила Эйлера для длинной оболочки ($L > 80r$)

$$P_{kp}^T = \frac{\pi^3 (D_h^4 - D_b^4) E}{64 L_{\text{прив}}^2},$$

где $L_{\text{прив}} = L$ при свободном опирании концов; $L_{\text{прив}} = \frac{1}{2}L$ при заделке концов.

Критическое напряжение для короткой оболочки

$$\sigma_{kp} = 2,35 E \cdot \left(\frac{S}{r}\right)^{3/2}$$

Критическое напряжение при чистом изгибе (рис. 9)

$$\sigma_{kp} = 0,22 E \cdot \left(\frac{S}{r}\right)$$

Условие устойчивости при совместном действии сжимающего давления и осевого сжимающего напряжения (рис. 10):

$$\frac{\sigma}{\sigma_{kp}} + \frac{P}{P_{kp}} \leq 1$$



Рис. 8



Рис. 9

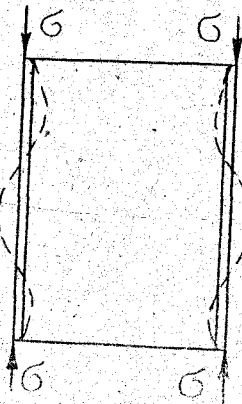
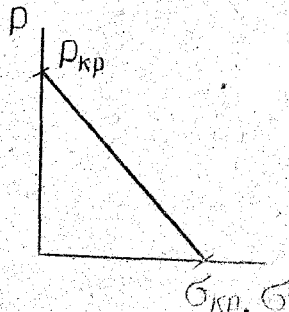


Рис. 10



2. Устойчивость сферических и эллиптических днищ (рис. II). Критическое наружное давление

$$\rho_{kp}^T = 0,3 \cdot E \cdot \left(\frac{S}{r} \right)^2$$

где S - толщина стенки днища;

r - средний радиус для сферического днища и наибольший радиус кривизны (в полюсе) по срединной поверхности для эллиптического днища.

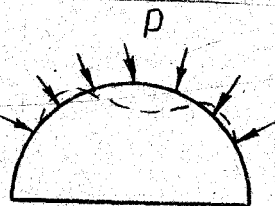


Рис. II

У. РАСЧЕТ ТЕРМИЧЕСКИХ НАПРЯЖЕНИЙ

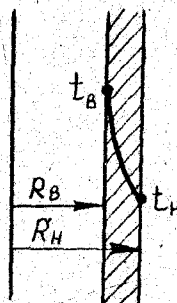


Рис. I2

Термические напряжения возникают при неравномерном нагреве элементов конструкции. Следует также учитывать дополнительные напряжения самокомпенсации, возникающие в результате неодинакового разогрева каких-либо элементов.

Рассмотрим некоторые конкретные случаи [4].

I. Термические напряжения в трубе (рис. I2). Распределение температуры в стенке трубы:

$$t(r) = t_h + (t_b - t_h) \cdot \frac{\ln\left(\frac{R_h}{r}\right)}{\ln\left(\frac{R_h}{R_b}\right)}$$

Напряжения σ_r , σ_φ и σ_z :

$$\sigma_r = \frac{\alpha \cdot E (t_b - t_h)}{2 \cdot (1-\mu) \cdot \ln \frac{R_h}{R_b}} \left[\ln \frac{r}{R_h} - \frac{R_b^2}{R_h^2 - R_b^2} \left(1 - \frac{R_h^2}{r^2} \right) \ln \frac{R_h}{R_b} \right];$$

$$\sigma_{\varphi} = \frac{\alpha E (t_b - t_h)}{2(1-\mu) \ln \frac{R_h}{R_b}} \left[1 + \ln \frac{r}{R_h} - \frac{R_b^2}{R_h^2 - R_b^2} \left(1 + \frac{R_h^2}{r^2} \right) \ln \frac{R_h}{R_b} \right],$$

$$\sigma_z = \frac{\alpha E (t_b - t_h)}{2(1-\mu) \ln \frac{R_h}{R_b}} \left[1 + 2 \ln \frac{r}{R_h} - \frac{2 R_b^2}{R_h^2 - R_b^2} \ln \frac{R_h}{R_b} \right].$$

а для тонкостенных труб

$$\sigma_{\varphi}^{\max} = \sigma_z^{\max} = - \frac{\alpha E (t_b - t_h)}{2(1-\mu)} \left(1 + \frac{R_h - R_b}{3 R_b} \right).$$

2. Термические напряжения в круглой пластине при линейном распределении температуры по толщине (рис. I3). Напряжения в защемленной по контуру пластине

$$\sigma_r = \sigma_{\varphi} = \frac{4 \alpha E \tau}{1 - \mu}$$

Прогиб $\omega = 0$.

Для свободно опертой по контуру пластины

$$\sigma_r = \sigma_{\varphi} = 0,$$

$$\omega = \frac{\alpha \cdot R^2 \tau}{2 h} \left(1 - \frac{r^2}{R^2} \right).$$

3. Напряжения и деформации в кожухотрубных теплообменных аппаратах (рис. I4). Для труб, нагретых более чем корпус ($t_{tr} > t_k$), напряжения в трубах и корпусе до потери устойчивости трубы

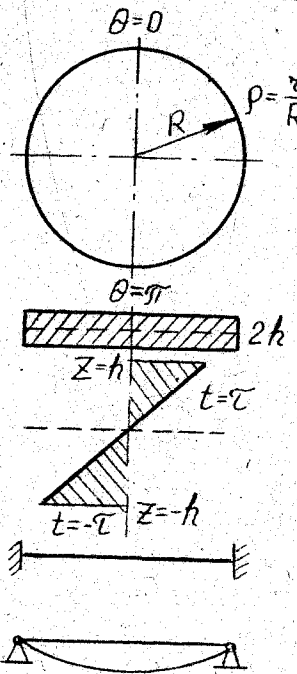


Рис. I3

$$\sigma_{tp} = - \frac{\alpha \cdot E \cdot \lambda}{1 + \lambda} \Delta t;$$

$$\sigma_k = \frac{\alpha \cdot E}{1 + \lambda} \Delta t$$

Здесь

$$\Delta t = t_{tp} - t_k;$$

$$\lambda = \frac{F_k}{n \cdot F_{tp}},$$

где F_k - площадь поперечного сечения кордуса; F_{tp} - площадь поперечного сечения одной трубы; n - число труб.

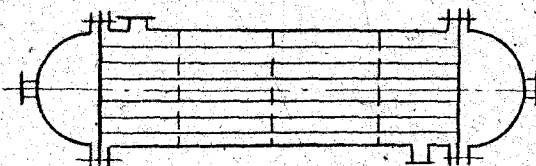


Рис. I4

Критическая разность температур, при которой трубы теряют устойчивость:

$$\Delta t_{kp} = \frac{\pi^2 d_h d_{bh} (1 + \lambda)}{8 \cdot \alpha \cdot l^2 \cdot \lambda}$$

при

$$\sigma_{tp}^{kp} = \frac{\pi^2 d_h d_{bh} E}{8 \cdot l^2} < \sigma_t;$$

$$\Delta t_{kp} = \frac{\sigma_t \cdot (1 + \lambda)}{\alpha \cdot E \cdot \lambda}$$

при

$$\sigma_{tp}^{kp} = \frac{\pi^2 d_h d_{bh} E}{8 \cdot l^2} \geq \sigma_t$$

Здесь d_n , d_{vn} , l - наружный, внутренний диаметры трубы и ее длина соответственно.

Допустимая разность температур

$$\Delta t_{\text{доп}} = \frac{\Delta t_{kp}}{N},$$

где N - запас устойчивости.

Максимальный прогиб трубы после потери устойчивости (в упругой области, где $\Delta t > \Delta t_{kp}$)

$$\omega_{tp} = \frac{2l}{\pi} \sqrt{\alpha (\Delta t - \Delta t_{kp})}.$$

Максимальное напряжение в трубах после потери устойчивости (в упругой области, где $\sigma_{tp}^{\max} < \sigma_t$)

$$\sigma_{tp}^{\max} = \sigma_{tp}^{kp} \left(1 + 4 \frac{\omega_{tp}}{d_v} \right),$$

где $\sigma_{tp}^{kp} = - \frac{\alpha \cdot E \cdot \lambda}{1 + \lambda} \Delta t_{kp}$

Максимальное напряжение в корпусе после потери устойчивости труб

$$\sigma_k^{\max} = \frac{\pi^2 \cdot d_n \cdot d_v \cdot E}{8 \lambda \cdot l^2} = \text{const.}$$

Для корпуса, нагретого более чем трубы ($t_{tp} < t_k$), напряжения в трубах и корпусе до потери устойчивости корпуса

$$\sigma_{tp} = \frac{\alpha \cdot E \cdot \lambda}{1 + \lambda} \Delta t, \quad \sigma_k = - \frac{\alpha \cdot E}{1 + \lambda} \Delta t.$$

Критическая разность температур, при которой корпус теряет устойчивость:

$$\Delta t_{kp} = 2,35 \frac{1+\lambda}{\alpha} \left(\frac{S}{R_{cp}} \right)^{3/2},$$

где S - толщина стенки корпуса; R_{cp} - средний радиус корпуса.

Допустимая разность температур

$$\Delta = t_{\text{доп}} = \frac{\Delta t_{kp}}{N}$$

VI. РАСЧЕТ НА ВИБРАЦИЮ

Вибрация возникает обычно при наличии внешней периодической силы. Амплитуда вибраций возрастает при приближении частоты вынуждающей силы к собственной частоте колебаний труб. Однако, как показывает опыт, вибрация труб при установившемся движении теплоносителя возникает и при отсутствии внешней силы. Такие самовозбуждающиеся поперечные колебания труб происходят с собственной частотой, амплитуда их зависит от скорости потока.

Частота собственных колебаний зависит от геометрии трубного пучка, его конструктивного выполнения, а также от продольной силы в трубах (сжатие уменьшает собственную частоту, растяжение - увеличивает).

Для определения критической скорости, при которой появляется вибрация трубного пучка, может быть использована зависимость [8]

$$\frac{\bar{u}_{kp}}{f_n \cdot d} = k \sqrt{\frac{m \cdot \delta}{\rho \cdot \alpha^2}}, \quad (*)$$

где \bar{u}_{kp} - скорость потока в узком сечении пучка; d - диаметр труб; f_n - частота собственных колебаний труб;

m - суммарная масса (масса материала трубы плюс присоединенная масса жидкости) на единицу длины трубы; ρ - плотность жидкости; δ - логарифмический декремент; k - величина, зависящая от относительного шага труб в пучке.

Частота собственных колебаний прямых труб независимо от вида крепления в опорах рассчитывается по формуле

$$f_n = \frac{B}{2\pi l^2} \sqrt{\frac{E J}{m}},$$

где l - длина трубы между соседними опорами;

$$J = \frac{\pi}{64} \cdot (d_{\text{H}}^4 - d_{\text{B}}^4)$$

момент инерции сечения трубы; E - модуль упругости; m - суммарная масса на единицу длины трубы; B - константа, определяемая способом крепления труб в опорах (табл. 3). (Номер колебательной формы - это число полуволн колебаний трубы между опорами.)

Таблица 3

Крепление концов трубы	Значения B при колебательных формах				
	I	II	III	IV	V
Оба заделаны	22,37	61,67	120,91	199,86	298,56
Одни заделаны, другой опирается	15,42	49,97	104,24	178,28	272,02
Оба опираются	9,87	39,48	88,83	157,9	246,74

Если подставить выражение для f_n в исходное уравнение (*), то получим следующую зависимость для вычисления критической скорости:

$$\bar{u}_{\text{кр}} = \frac{k \cdot B}{2 \pi \cdot l^2} \cdot \sqrt{\frac{\delta \cdot E \cdot J}{\rho}}.$$

На рис. 15 представлена зависимость параметра k от относительного шага труб поперечно обтекаемых шахматных и коридорных пучков. Поскольку изменение k незначительно, то в практических (приближенных) расчетах критической скорости потока для пучков труб с $t_1/d \geq 1,15$ можно принять $k = 3,7$ [8].

Демпфирование труб в пучках осуществляется конструктивно (в материале трубы) и гидродинамически. В реальных конструкциях суммарное демпфирование труб в пучках определяется логарифмическим декрементом $\delta = 0,2 \dots 0,3$ [8].

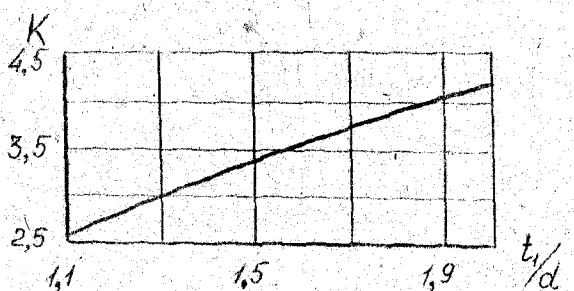


Рис. 15

Таким образом, если принять $k = 3,7$ и $\delta = 0,25$, для приближенных расчетов критической скорости жидкости при поперечном обтекании пучков труб можно использовать формулу

$$\bar{u}_{kp} = 0,065 \frac{B}{l^2} \sqrt{\frac{E \cdot (d_n^4 - d_b^4)}{\rho}}$$

ЛИТЕРАТУРА

1. Нормы расчета на прочность оборудования и трубопроводов атомных энергетических установок. М.: Энергоатомиздат, 1989. 525 с.
2. Сосуды и трубопроводы высокого давления: Справочник / Е.Р.Хисматулин, Е.М.Королев, В.И.Лычниц и др. М.: Машиностроение, 1990. 384 с.
3. Правила устройства и безопасности эксплуатации оборудования и трубопроводов атомных энергетических установок (ПН АЭ Г-7-008-89). М.: Энергоатомиздат, 1990. 168 с.
4. Ашрафев П.А., Гремилов Л.И., Федорович Е.Д. Теплообменные аппараты ядерных энергетических установок. Л.: Судостроение, 1969. 352 с.
5. Домашнев А.Д. Конструирование и расчет химических аппаратов. М.: Машгиз, 1961. 282 с.

6. Справочник по строительной механике корабля / Под ред.
Шиманского Ю.А. Л.: Судпромгиз, 1958. 268 с.

7. Гусев Б.М. Расчет тонкостенных цилиндрических аппаратов на устойчивость при осевом сжатии и изгибе // Химическое машиностроение. 1961. № 3. С. 24-28.

8. Жукаускас А.А. Конвективный перенос в теплообменниках. М.: Наука, 1982. 472 с.

Приложение

Условные обозначения

- σ_b - минимальное значение временного сопротивления при расчетной температуре, МПа
- $\sigma_{0,2}$ - минимальное значение предела текучести при расчетной температуре, МПа
- δ - относительное удлинение образца при статическом разрушении, возникающем вследствие растяжения, при расчетной температуре, %
- α - коэффициент линейного расширения при расчетной температуре, K^{-1}
- E - модуль упругости при расчетной температуре, МПа
- λ - коэффициент теплопроводности при расчетной температуре, $Bt/(m \cdot K)$

Марка	Сортамент	Характе- ристики	Температура, °C					
			20	150	300	450	600	900
1	2	3	4	5	6	7	8	9
Сталь 20		σ_{-30}^6 E_{-10}^4	III,2 20,0	12,2 19,2	13,1 18,0	13,8 16,5	14,4	
		λ	53	50	44,4	41	35,6	
		δ_B	402	392	363			
		$\delta_{0,2}$	216	206	177			
		δ	21	18	17			
		δ_{-30}	353	324	284			
		$\delta_{0,2}$	176	157	147			
		δ	20	19	18			
		Диаграмма заготовки толщи- ной от 20 до 250 мм						

Продолжение таблицы

Продолжение таблицы

I	2	3	4	5	6	7	8	9
Сталь 22K		$\alpha \cdot 10^6$	II, 2	II, 2	13,1	13,8	14,4	
		$E \cdot 10^{-4}$	20,0	19,2	18,0	16,5		
		λ	50,2	49,6	45,6	42,5		
Истин толщины от 70 до 170 мм	b_b		430	430	412			
	$b_{0,2}$		215	186	186			
	b		18	17	17			
Поковки диаметром от 100 до 800 мм	b_b		430	392	353			
	$b_{0,2}$		215	186	186			
	b		16	II	II			
Сталь 15ХМ		$\alpha \cdot 10^6$	II, 2	II, 2	13,1	13,8	14,4	
		$E \cdot 10^{-4}$	21,0	20,2	19,5	18,0	16,5	
		λ	45	42,7	40,7	37,5	33,7	

I	2	3	4	5	6	7	8	9
	Поковка толщиной или диаметром до 500 мм	δ_8	530	520	500	491		
		$\delta_{0,2}$	275	275	265	196		
		8	15	15	14	13		
	Трубы бесшовные горячекатаные с наружным диаметром от 10 до 465 мм и толщиной стенки от 2 до 32 мм	δ_8	441	431	412	343		
		$\delta_{0,2}$	226	226	216	191		
		8	20	20	19	17		
	Сталь 30 XMA	$\alpha \cdot 10^6$	II,2	12,2	13,1	13,8	14,4	
		$E \cdot 10^{-4}$	21,5	20,7	20,0	18,5	17,0	
		1	42	41,3	39,6	38		
	Трубы с наружным диа- метром от 25 до 710 мм и толщиной стенки от 2,5 до 50 мм	δ_8	589	540	530	432		
		$\delta_{0,2}$	392	343	324	294		
		8	13	13	15	15		

Продолжение таблицы

I	2	3	4	5	6	7	8	9
Заготовки крепежных деталей толщиной или диаметром до 300 мм	σ_b	785	746	687	598			
	σ_{q2}	640	568	461	412			
	δ	13	12	13	13			
Листы, поковки толщиной до 300 мм	$\alpha \cdot 10^6$	II, 2	12, 2	13, 1	13, 8	14, 4		
	$E \cdot 10^{-4}$	21, 0	20, 2	19, 5	18, 0	16, 5		
Сталь 10ГН2МФА	λ	47	45, 5	43, 4	43, 5	34, 3		
	σ_b	540	510	491	491			
	σ_{q2}	343	314	304	280			
	δ	16	16	16	16			
Сталь 15Х2НМФА	$\alpha \cdot 10^6$	II, 2	12, 2	13, 1	13, 8	14, 4		
15Х2НМФА-А	$E \cdot 10^{-4}$	21, 0	20, 2	19, 5	18, 0	16, 5		
	λ	46	45, 5	43, 5	39, 5	34, 3		

Продолжение таблицы

	2	3	4	5	6	7	8	9
Листы, поковки тол- шиной от 160 до 400 мм	σ_b $\sigma_{0,2}$	549 441	530 402	510 395	480 390			
Листы, поковки тол- шиной от 400 до 650 мм	σ_b $\sigma_{0,2}$	549 441	519 412	500 402	480 390			
Сталь 08Х18Н10Т 12Х18Н10Т	$\alpha \cdot 10^6$ $E \cdot 10^{-4}$	16,2 20,5	16,8 19,5	17,4 18,0	18,5 16,7			
Сортовой прокат и поковки из него тол- шиной или диаметром до 200 мм	σ_b $\sigma_{0,2}$	16,5 12,5 491	17 18,8 436	17,4 22,2 377	18,5 16,0 24,7 250	100		
						147		
						20	20	22

Продолжение таблицы

I	2	3	4	5	6	7	8	9
Сталь 08Х18Н10Т 12Х18Н10Т	Сортовой прокат и поковки из него тол- щины или диаметром более 200 мм	δ_8 $\delta_{0,2}$ 8	491 196 35	421 172 31	343 147 26	280 123 23	181 98 21	
Трубы		δ_8 $\delta_{0,2}$ 8	510 216 35	441 196 28	412 177 26	382 157 25	304 137 22	100 — 22
Сплав на ни- хелевой осно- ве ЭП-99	Холоднокатанный лист, термообработке заже- ливание	$\alpha \cdot 10^6$ $E \cdot 10^{-4}$	$\Pi, 4$ 20,0	— —	— —	— —	— —	— —
		λ δ_8 $\delta_{0,2}$ 8	10,1 1208 814 31	— — — —	— — — —	— — — —	— — — —	31 10

Продолжение таблицы

I	2	3	4	5	6	7	8	9
Сплав на никелевом основе РМ-III (Э) 101	Прутки, листы, ленты, трубы.	$\alpha \cdot 10^6$ $E \cdot 10^{-4}$	11,7 21,9	- -	- -	- -	13,8 18,4	14,5 -
		λ σ_b $\sigma_{0,2}$ δ	8,8 1150 710 40	- - - -	- - - -	20,1 1000 700 20	24,3 650 450 20	
								14,9
		$\alpha \cdot 10^6$ $E \cdot 10^{-4}$	10,4 24	- -	- -	- -	- -	16
Сплав на никелевом основе РМ-III (Э) 201	Прутки, листы, трубы.	λ σ_b $\sigma_{0,2}$ δ	1150 750 30	- - -	- -	- -	1000 680 28	520 500 12

Продолжение таблицы

I	2	3	4	5	6	7	8	9
Сплав на основе никелево-железной смеси	Прутки, листы, трубы	$\alpha \cdot 10^6$	$E \cdot 10^4$	8	-	-	-	-
				33	-	-	29	27
			λ	126	-	120	-	121
		σ_b	900	-	-	600	510	
		$\sigma_{0,2}$	850	-	-	500	450	
		δ	30	-	-	10	12	
Сплав циркония и 1% ниобия	Трубы бесшовные холоднокатаные диаметром от 9 до 13,5 мм	$\alpha \cdot 10^6$	$E \cdot 10^4$	5	5,6	6	7,6	
				8,8	8,1	21,5	21	
		σ_b	22	227	227	168		
		$\sigma_{0,2}$	272	204	175	143		
		$\sigma_{0,2}$	204	28	29,5	32		

Продолжение таблицы

I	2	3	4	5	6	7	8	9
Титан ВТИ-0, ВТИ-0(М)	Листы толщиной от 0,3 до 10 мм. Поковки, штамповки, прутки диаметром до 100 мм. трубы	$\alpha \cdot 10^6$ $E \cdot 10^{-4}$	7,8 10,1	8,0 10,0	8,5 9,0			
Аллюминиевый сталь АД0, АД2	Листы и плиты толщи- ной от 0,3 до 80 мм. Трубы прессованные от 18 до 90 мм	λ σ_b σ_{q2} δ	9,7 294 216 20	II 196 147 23	12,8 130 90 24			
		$\alpha \cdot 10^6$ $E \cdot 10^{-4}$	22 6,8					
		λ σ_b σ_{q2} δ	150 78 63 15					

Окончание таблицы

I	2	3	4	5	6	7	8	9
Сплав латуни Л062-1, Л070-1	Листы холонокатане	$\alpha \cdot 10^6$	18					
		$E \cdot 10^{-4}$	12					
				$\frac{102}{105}$	$\frac{125}{110}$	$\frac{148}{113}$	$\frac{172}{118}$	$\frac{196}{121}$
	Трубы диаметром от 10 до 50 мм			σ_B	$\frac{420}{373}$	$\frac{390}{294}$	$\frac{5}{40}$	
				$\sigma_{0,2}$				
				δ				

СОДЕРЖАНИЕ

I. Основные положения расчета на прочность	3
II. Расчет на прочность	6
III. Расчет жесткости	10
IV. Расчет на устойчивость	16
V. Расчет термических напряжений	20
VI. Расчет на вибрацию	24
Литература	26
Приложение	28